

Starkniederschlagshöhen und -spenden gemäß KOSTRA-DWD-2020

Rasterfeld 209116

(Zeile 209, Spalte 116)

Regenspende und Bemessungsniederschlagswerte in Abhängigkeit von Wiederkehrzeit T und Dauerstufe D

| Dauerstufe D | Wiederkehrzeit T | | | | | | | | | | | | | | | | | | |
|--------------|------------------|-------|------------|-------|------------|-------|------------|-------|------------|-------|------------|-------|------------|-------|------------|-------|------------|-------|------------|
| | 1 a | 2 a | 3 a | 5 a | 10 a | 20 a | 30 a | 50 a | 100 a | 1 a | 2 a | 3 a | 5 a | 10 a | 20 a | 30 a | 50 a | 100 a | |
| min | Std | mm | l / (s ha) | mm | l / (s ha) | mm | l / (s ha) | mm | l / (s ha) | mm | l / (s ha) | mm | l / (s ha) | mm | l / (s ha) | mm | l / (s ha) | mm | l / (s ha) |
| 5 | | 7,4 | 246,7 | 9,0 | 300,0 | 9,9 | 330,0 | 11,2 | 373,3 | 13,0 | 433,3 | 14,9 | 496,7 | 16,2 | 540,0 | 17,8 | 593,3 | 20,1 | 670,0 |
| 10 | | 9,6 | 160,0 | 11,6 | 193,3 | 12,9 | 215,0 | 14,5 | 241,7 | 16,9 | 281,7 | 19,4 | 323,3 | 21,0 | 350,0 | 23,1 | 385,0 | 26,1 | 435,0 |
| 15 | | 11,2 | 124,4 | 13,5 | 150,0 | 15,0 | 166,7 | 16,9 | 187,8 | 19,7 | 218,9 | 22,5 | 250,0 | 24,4 | 271,1 | 26,8 | 297,8 | 30,3 | 336,7 |
| 20 | | 12,4 | 103,3 | 15,0 | 125,0 | 16,6 | 138,3 | 18,8 | 156,7 | 21,8 | 181,7 | 25,0 | 208,3 | 27,1 | 225,8 | 29,8 | 248,3 | 33,7 | 280,8 |
| 30 | | 14,4 | 80,0 | 17,4 | 96,7 | 19,3 | 107,2 | 21,8 | 121,1 | 25,3 | 140,6 | 29,0 | 161,1 | 31,4 | 174,4 | 34,5 | 191,7 | 39,0 | 216,7 |
| 45 | | 16,7 | 61,9 | 20,2 | 74,8 | 22,4 | 83,0 | 25,2 | 93,3 | 29,3 | 108,5 | 33,6 | 124,4 | 36,4 | 134,8 | 40,0 | 148,1 | 45,2 | 167,4 |
| 60 | 1 | 18,5 | 51,4 | 22,4 | 62,2 | 24,8 | 68,9 | 28,0 | 77,8 | 32,6 | 90,6 | 37,3 | 103,6 | 40,4 | 112,2 | 44,4 | 123,3 | 50,2 | 139,4 |
| 90 | 1,5 | 21,4 | 39,6 | 26,0 | 48,1 | 28,8 | 53,3 | 32,4 | 60,0 | 37,7 | 69,8 | 43,2 | 80,0 | 46,8 | 86,7 | 51,4 | 95,2 | 58,1 | 107,6 |
| 120 | 2 | 23,8 | 33,1 | 28,8 | 40,0 | 31,9 | 44,3 | 36,0 | 50,0 | 41,9 | 58,2 | 47,9 | 66,5 | 51,9 | 72,1 | 57,1 | 79,3 | 64,5 | 89,6 |
| 180 | 3 | 27,5 | 25,5 | 33,3 | 30,8 | 36,9 | 34,2 | 41,7 | 38,6 | 48,5 | 44,9 | 55,5 | 51,4 | 60,1 | 55,6 | 66,1 | 61,2 | 74,7 | 69,2 |
| 240 | 4 | 30,6 | 21,3 | 37,0 | 25,7 | 41,0 | 28,5 | 46,2 | 32,1 | 53,8 | 37,4 | 61,5 | 42,7 | 66,6 | 46,3 | 73,3 | 50,9 | 82,9 | 57,6 |
| 360 | 6 | 35,4 | 16,4 | 42,8 | 19,8 | 47,4 | 21,9 | 53,5 | 24,8 | 62,2 | 28,8 | 71,2 | 33,0 | 77,1 | 35,7 | 84,9 | 39,3 | 95,9 | 44,4 |
| 540 | 9 | 40,9 | 12,6 | 49,6 | 15,3 | 54,9 | 16,9 | 61,9 | 19,1 | 72,0 | 22,2 | 82,5 | 25,5 | 89,3 | 27,6 | 98,2 | 30,3 | 111,0 | 34,3 |
| 720 | 12 | 45,4 | 10,5 | 55,0 | 12,7 | 60,9 | 14,1 | 68,7 | 15,9 | 79,9 | 18,5 | 91,5 | 21,2 | 99,1 | 22,9 | 109,0 | 25,2 | 123,2 | 28,5 |
| 1080 | 18 | 52,6 | 8,1 | 63,7 | 9,8 | 70,5 | 10,9 | 79,5 | 12,3 | 92,5 | 14,3 | 105,9 | 16,3 | 114,6 | 17,7 | 126,1 | 19,5 | 142,6 | 22,0 |
| 1440 | 24 | 58,3 | 6,7 | 70,6 | 8,2 | 78,2 | 9,1 | 88,2 | 10,2 | 102,6 | 11,9 | 117,5 | 13,6 | 127,2 | 14,7 | 139,9 | 16,2 | 158,2 | 18,3 |
| 2880 | 48 | 74,9 | 4,3 | 90,7 | 5,2 | 100,4 | 5,8 | 113,3 | 6,6 | 131,7 | 7,6 | 150,8 | 8,7 | 163,3 | 9,5 | 179,6 | 10,4 | 203,1 | 11,8 |
| 4320 | 72 | 86,7 | 3,3 | 104,9 | 4,0 | 116,2 | 4,5 | 131,1 | 5,1 | 152,5 | 5,9 | 174,5 | 6,7 | 189,0 | 7,3 | 207,9 | 8,0 | 235,1 | 9,1 |
| 5760 | 96 | 96,1 | 2,8 | 116,4 | 3,4 | 128,9 | 3,7 | 145,4 | 4,2 | 169,1 | 4,9 | 193,6 | 5,6 | 209,7 | 6,1 | 230,6 | 6,7 | 260,7 | 7,5 |
| 7200 | 120 | 104,2 | 2,4 | 126,1 | 2,9 | 139,7 | 3,2 | 157,6 | 3,6 | 183,3 | 4,2 | 209,8 | 4,9 | 227,2 | 5,3 | 250,0 | 5,8 | 282,6 | 6,5 |
| 8640 | 144 | 111,3 | 2,1 | 134,7 | 2,6 | 149,2 | 2,9 | 168,3 | 3,2 | 195,8 | 3,8 | 224,1 | 4,3 | 242,7 | 4,7 | 267,0 | 5,2 | 301,8 | 5,8 |
| 10080 | 168 | 117,6 | 1,9 | 142,4 | 2,4 | 157,8 | 2,6 | 177,9 | 2,9 | 207,0 | 3,4 | 236,9 | 3,9 | 256,5 | 4,2 | 282,2 | 4,7 | 319,0 | 5,3 |

Starkniederschlagshöhen und -spenden gemäß KOSTRA-DWD-2020

Rasterfeld 209116

(Zeile 209, Spalte 116)

Örtliche Unsicherheiten in Abhängigkeit von Wiederkehrzeit T und Dauerstufe D

| Dauerstufe D | | Wiederkehrzeit T | | | | | | | | |
|--------------|-----|------------------|-----|-----|-----|------|------|------|------|-------|
| | | 1 a | 2 a | 3 a | 5 a | 10 a | 20 a | 30 a | 50 a | 100 a |
| min | Std | ± % | ± % | ± % | ± % | ± % | ± % | ± % | ± % | ± % |
| 5 | | 23 | 24 | 25 | 25 | 26 | 26 | 27 | 27 | 27 |
| 10 | | 26 | 27 | 28 | 28 | 29 | 30 | 30 | 30 | 31 |
| 15 | | 27 | 28 | 29 | 29 | 30 | 31 | 31 | 31 | 32 |
| 20 | | 27 | 28 | 29 | 30 | 30 | 31 | 31 | 32 | 32 |
| 30 | | 27 | 28 | 28 | 29 | 30 | 30 | 31 | 31 | 31 |
| 45 | | 26 | 27 | 27 | 28 | 29 | 29 | 30 | 30 | 30 |
| 60 | 1 | 25 | 26 | 26 | 27 | 28 | 28 | 28 | 29 | 29 |
| 90 | 1,5 | 23 | 24 | 25 | 25 | 26 | 26 | 27 | 27 | 27 |
| 120 | 2 | 22 | 23 | 23 | 24 | 25 | 25 | 25 | 26 | 26 |
| 180 | 3 | 20 | 21 | 21 | 22 | 23 | 23 | 23 | 24 | 24 |
| 240 | 4 | 19 | 20 | 20 | 21 | 21 | 22 | 22 | 22 | 23 |
| 360 | 6 | 17 | 18 | 18 | 19 | 19 | 20 | 20 | 20 | 21 |
| 540 | 9 | 16 | 16 | 17 | 17 | 18 | 18 | 18 | 19 | 19 |
| 720 | 12 | 15 | 16 | 16 | 16 | 17 | 17 | 17 | 18 | 18 |
| 1080 | 18 | 14 | 15 | 15 | 15 | 16 | 16 | 16 | 16 | 17 |
| 1440 | 24 | 14 | 14 | 15 | 15 | 15 | 15 | 16 | 16 | 16 |
| 2880 | 48 | 16 | 15 | 15 | 15 | 15 | 15 | 15 | 15 | 15 |
| 4320 | 72 | 17 | 17 | 16 | 16 | 16 | 16 | 16 | 16 | 16 |
| 5760 | 96 | 19 | 18 | 18 | 17 | 17 | 17 | 17 | 17 | 17 |
| 7200 | 120 | 20 | 19 | 18 | 18 | 18 | 18 | 18 | 18 | 17 |
| 8640 | 144 | 21 | 20 | 19 | 19 | 19 | 18 | 18 | 18 | 18 |
| 10080 | 168 | 22 | 21 | 20 | 20 | 19 | 19 | 19 | 19 | 19 |

Parameter für abweichende T und D

Lokationsparameter ξ (Xi)

18,55846924

Skalenparameter α (Alpha)

5,43451046

Formparameter κ (Kappa)

-0,1

1. Koutsoyiannis-Parameter θ (Theta)

0,00284081

2. Koutsoyiannis-Parameter η (Eta)

0,63948577

Parameter für dauerstufenübergreifende Extremwertschätzung nach KOUTSOYIANNIS et al. 1998.

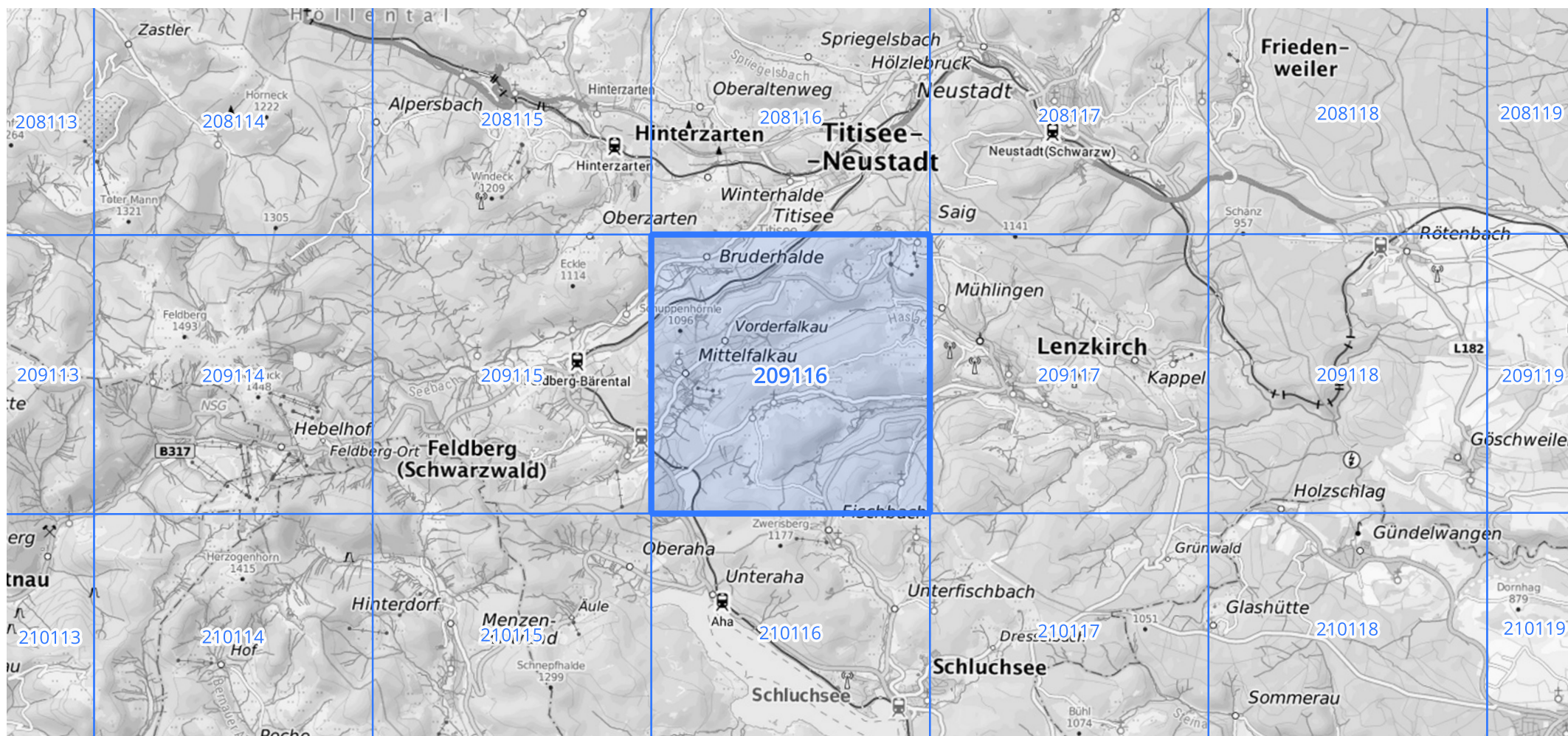
Siehe auch Anwendungshilfe zu KOSTRA-DWD-2020 des Deutschen Wetterdienstes.

Starkniederschlagshöhen und -spenden gemäß KOSTRA-DWD-2020

Rasterfeld 209116

(Zeile 209, Spalte 116)

Übersichtskarte des Rasterfeldes 209116, M 1 : 100 000



Quelle Rasterdaten: KOSTRA-DWD-2020 des Deutschen Wetterdienstes, Stand 12/2022.

Seite 3 von 3

Kartendarstellung: © Bundesamt für Kartographie und Geodäsie (2023), Datenquellen: https://sgx.geodatenzentrum.de/web_public/gdz/datenquellen/Datenquellen_TopPlusOpen.html

Für die Richtigkeit und Aktualität der Angaben wird keine Gewähr übernommen. Erstellt 01/2023.